

# STS316L 브레이징부의 기계적특성에 미치는 인서트금속의 영향 ( Effect of Insert Metal on Mechanical Properties of Brazed Joints of STS316L )

노성주\*, 이병호\*, 김대업\*\*, 김영수\*\*, 우유철\*\*, 노용규\*\*

\* (주)비츠로테크 기술연구소

\*\* 현대정공(주) 기술연구소

## 1. 서 론

로켓엔진은 고온에서 극저온까지의 온도범위, 고압 및 부식성이 강한 연소가스에 의한 영향이 있는 특수한 사용환경에서 사용되기 때문에 엄격한 제작공정조건의 확립이 요구된다. 로켓엔진 제작시 적용되는 브레이징은 가장 중요한 핵심기술이며, 접합부의 강도확보와 열변형을 최소화할 수 있는 고효율, 고신뢰성의 접합공정 개발은 엔진제작의 성패를 좌우한다고 해도 과언이 아니다. 본 연구에서는 국내에서 개발되고 있는 로켓엔진을 대상으로 보다 성능이 우수한 엔진 제작기술을 확립하는 것을 목적으로 하여, 현재 로켓엔진에 적용하고 있는 브레이징부에 대한 기초적 연구로서 접합조건에 따른 접합부의 조직관찰 및 기계적특성에 대하여 검토하였다.

## 2. 사용재료 및 실험방법

본 연구에 사용한 모재는 STS316L을, 인서트금속으로서는 Cu기 합금인 AMS4764와 Ni기 합금인 MBF-20을 사용하였다. 이들의 화학조성을 Table 1에 나타낸다. 피접합면을 연마한 후 인서트금속과 함께 아세톤중에 초음파세척하여 진공로내에서 브레이징하였다. 접합은 양 접합모재 사이에 인서트금속을 삽입하고,  $1 \times 10^{-6}$  torr의 고진공 분위기중에서  $10^\circ\text{C}/\text{min}$ 의 가열속도로 접합온도까지 가열하여 30min간 유지한 후 노냉하였다. 접합조건은 접합압력 1.8MPa, 유지시간 30min으로 일정하게 하고 접합온도는  $980 \sim 1100^\circ\text{C}$ 로 변화시켰다. 접합부의 기계적성질은 인장시험으로 평가하였으며, 인장시험은  $-196 \sim 900^\circ\text{C}$ 의 시험온도에서 대기중에서  $0.25^\circ\text{C}/\text{s}$ 의 가열속도로 가열하여 시험온도에서 30min간 유지한 후  $0.5\text{mm}/\text{min}$ 의 속도로 행하였다.

## 3. 실험결과

### 3.1 접합부의 조직

Fig.1은 AMS4764 인서트금속을 사용하여  $990^\circ\text{C} \times 30\text{min}$ 의 조건에서 브레이징한 접합부 조직을 나타낸 것이다. 접합계면은 파도모양의 불안정한 조직을 하고 있으며, 접합부내 기공 및 미접합 부위가 많이 관찰되었다. 또한, 접합부 부근의 모재 및 접합부내에는 많은 종류의 생성상이 확인되었다. Ni기 인서트금속인 MBF-20을 사용하여  $1040^\circ\text{C} \times 30\text{min}$ 의 조건에서 브레이징한 접합부 조직을 Fig.2에 나타낸다. 접합계면은 평탄하고, 미접합 부위는 전혀 관찰되지 않았으며, AMS4764 인서트금속을 사용한 접합부에 비해 훨씬 양호한 접합부를 보이고 있다. 접합부내에서는 생성상이 관찰되지 않았으나, 접합부 부근의 모재에서는 미세한 입상 및 침상의 생성상이 관찰되었다.

### 3.2 접합부의 인장특성

Fig.3 및 Fig.4는 AMS4764 및 MBF-20 인서트금속을 사용하여 각각  $990^\circ\text{C} \times 30\text{min}$ ,  $1040^\circ\text{C} \times 30\text{min}$ 의 조건에서 브레이징한 접합부를  $-196 \sim 900^\circ\text{C}$ 의 시험온도에서 인장시험을 행하여 모재의

결과와 비교하여 나타낸 것이다. 접합부의 인장강도는 모재와 같이 시험온도가 증가할수록 저하하는 경향을 나타내고 있으며, 저온의 시험온도에서는 모재강도에 비하여 떨어지나 200℃ 이상의 시험온도에서는 모재와 거의 동등한 접합강도를 나타내었다. 또한, MBF-20 인서트금속을 사용한 경우가 AMS4764 인서트금속을 사용한 경우보다 접합부 특성이 많이 개선되었으며, 이는 접합부 조직관찰 결과와도 잘 부합한다. 한편, 연신율에 대해서 보면, AMS4764 인서트금속을 사용한 접합부에서는 연신율이 5%이내인 반면, MBF-20 인서트금속을 사용한 경우에는 접합부의 연신율이 대폭 향상되었다. 또한 200~600℃의 시험온도에서는 모재 연신율의 50% 이상을 나타내었으나 저온 및 고온의 가혹한 조건에서는 접합부의 연신율이 상당히 저하하였다.

### 3.3 파단면 관찰

브레이징 접합부의 인장특성 저하원인을 조사하기 위하여 파단면을 관찰하였다. Fig.5는 인장 시험후의 마크로 파단면을 대표적으로 나타낸 것이다. AMS4764 인서트금속을 사용한 접합부의 파단면은 dimple양상을 보이는 파단면도 관찰되었으나, 전체적으로 소성변형이 거의 없는 파단면이었으며 중앙부에는 미접합 부위도 관찰되었다. 이는 조직관찰 결과에서도 알 수 있듯이 브레이징시 인서트금속의 낮은 젖음성에 기인한 흐름성 불량에 원인이라 생각된다. 한편, MBF-20 인서트금속을 사용한 경우에는 미접합 부위없이 전체적으로 dimple양상을 보이는 연성파면이었다. 인서트금속에 따른 인장특성의 차이는 접합조건의 차이는 있으나, 조직관찰 및 파단면 관찰결과로부터, 인서트금속 자체의 흐름성 및 특성차이가 주요원인인 것으로 생각된다. 또한, AMS4764 인서트금속에는 증발성이 강한 Mn이 다량(37%) 함유되어 있기 때문에 브레이징시의 인서트금속의 산화 및 모재와 접합부간의 성분 불균일 등에 의하여 인서트금속의 흐름성이 저하되어 접합부 특성이 저하한 것으로 판단된다.

Table 1 Chemical composition of materials used (wt%)

Materials		C	B	Mn	Si	P	S	Ni	Cr	Mo	Cu	Fe
Base metal	SUS316L	0.08	-	2.0	1.0	0.04	0.03	12.0	17.0	2.5	-	Bal.
Insert metal	AMS4764	-	-	37.5	-	-	-	9.5	-	-	Bal.	-
	MBF-20	-	3.2	-	4.5	-	-	Bal.	7.0	-	-	3.0

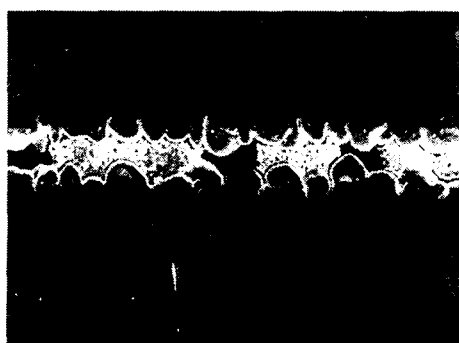


Fig.1 Microstructure of bonded interlayer for AMS4764 insert metal

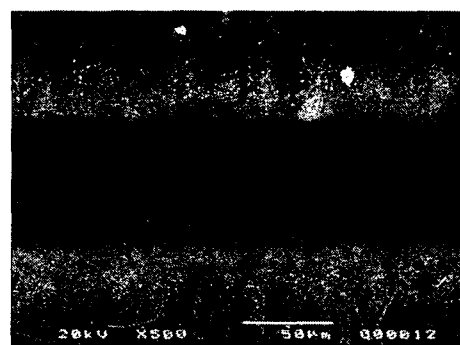


Fig.2 Microstructure of bonded interlayer for MBF-20 insert metal

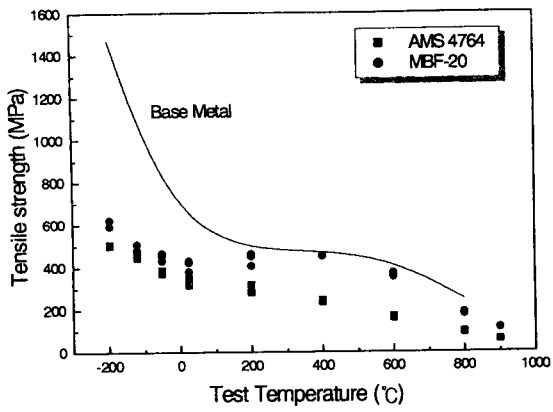


Fig.3 Tensile strength of brazed joints

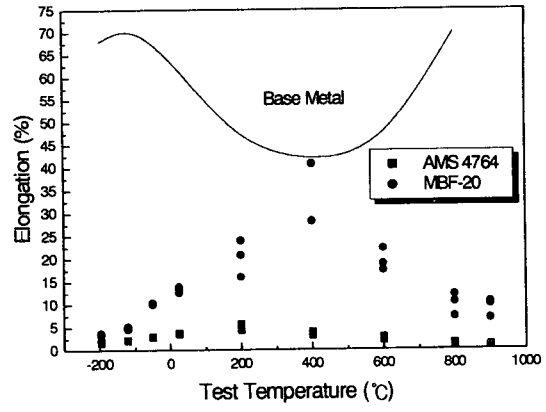
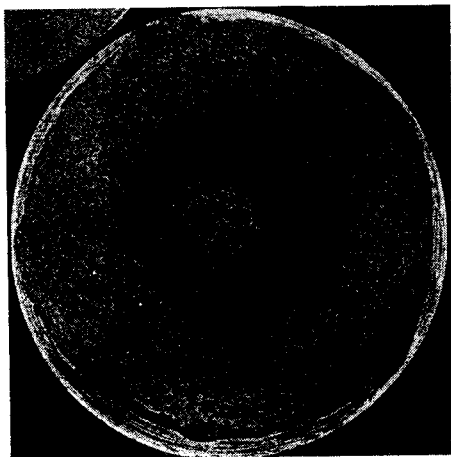
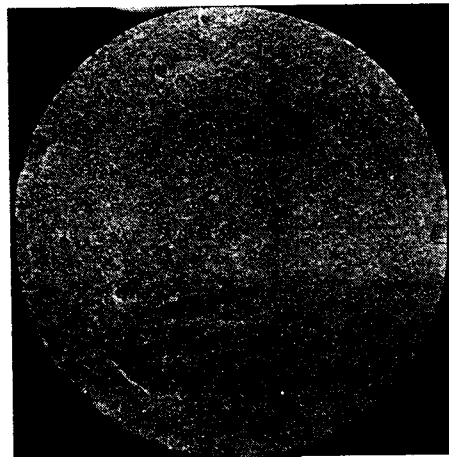


Fig.4 Elongation of brazed joints



(a) For AMS4764 insert metal



(b) For MBF-20 insert metal

Fig.5 Macrostructures of tensile fracture surface of brazed joints